

海岸堤防基部の洗掘機構に関する一考察

鳥取大学工学部 正員 野田 英明

1. まえがき

防波堤、海岸堤防や護岸などの堤脚部の洗掘は、海岸構造物の設計施工にあたって考慮しなければならない重要な問題のひとつである。堤脚部の洗掘によって構造物の強度や防災機能が低下したり、あるいは構造物そのものが破壊したという実例は多い。著者はこれまで、波動境界層における流れの挙動とくに質量輸送の問題に取組んできたが、この質量輸送が堤脚部近傍における漂砂の挙動に重要な影響を及ぼすと考えられて、この報告ではこの質量輸送という面から海岸堤防の洗掘機構について考察しようとするものである。

2. 底面境界層内における質量輸送速度

(1) 層流境界層理論

波動によって底面に発達する層流境界層における質量輸送速度 \bar{U}_L は、Longuet-Higgins によると、

$$\bar{U}_L = \frac{\pi^2 (H_L)^2}{4} \frac{L}{T \sinh^2 kh} \left[(1 - r^2) K_{PL}(?) + 2r K_{SL}(?) \sin 2kx \right] \quad \dots \dots \dots \quad (1)$$

となる。ここで H_L : 入射波高, L : 波長, T : 周期, h : 水深, r : 反射率, $k = 2\pi/L$ であり、さらには、

$$K_{PL}(?) = 5 - 8e^{-2} \cos ? + 3e^{-2?} \quad \dots \dots \dots \quad (2)$$

$$K_{SL}(?) = -3 + 8e^{-2} \sin ? + 3e^{-2?} \quad \dots \dots \dots \quad (2)$$

$$? = Z/\sqrt{2} \delta \quad (\delta = \sqrt{vT/2\pi}) \quad \dots \dots \dots \quad (3)$$

である。(1)式において、 $r=0$ すなはち進行波と $r=1$ すなはち重複波の場合、それぞれ右辺括弧内の第2式あるのは第1式がゼロになる。(したがって、 K_{PL} および K_{SL} はそれぞれ進行波かよび重複波の場合の質量輸送速度の鉛直分布を示すことになる。図-1(a)および(b)は(2)式の計算結果であって、 K_{PL} および K_{SL} との関係を示すものである。(1)式とこの図から明らかなように、 $0 \leq kx \leq \pi/2$ の領域における進行波と重複波による質量輸送は底面のごく近傍を除いて同方向であり、また $\pi/2 \leq kx \leq \pi$ の領域では逆方向となる。したがって海岸堤防の前面などよくみられる部分重複波のような場合、(1)式から明らかのように、反射率と構造物前面から距離あるのは底面からの高さによって質量輸送はその速さも方向も異なることになる。この質量輸送は、その大きさが $(H_L/L)^2$ すなはち2次のオーダーであるため一般に小さく、波動によよび1次のオーダー (H/L) の周期的往復運動と重つた運動であるため、波がある程度大きければ、その合成波は十分に底面輸送の能力をもつことおよびその質量輸送の方向と漂砂の移動形式が漂砂の方向と密接な関係をもつことが考えられる。ただし層流境界層では底面が拡流形式で運ばれるので、重複波にみられる底面のごく近くの逆転層厚と底質粒径の比が漂砂の方向を決定する重要な要素と考えられる。

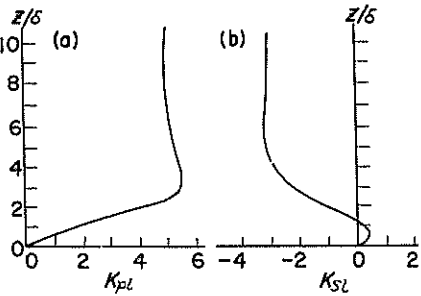


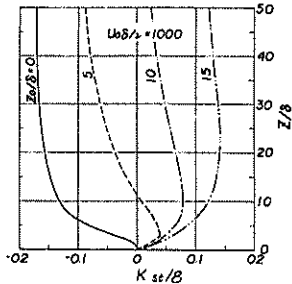
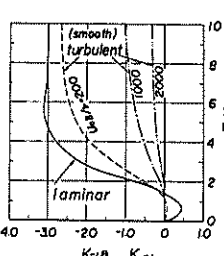
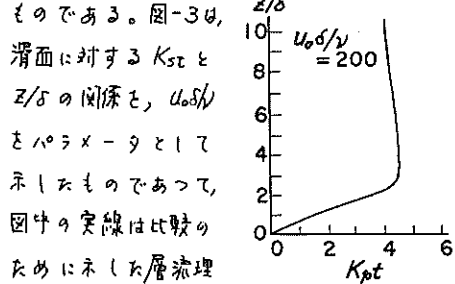
図-1 K_{PL} と Z/L の関係

(ii) 亂流境界層理論

昨年の海岸工学講演会で明らかにしたように、乱流境界層理論を用いると、乱流境界層における質量輸送速度 \bar{D}_t は、

$$\bar{D}_t = \frac{\pi^2}{4} \left(\frac{H_c}{L} \right)^2 \frac{L}{T \sinh^2 k_{st}} \left[(1-r^2) K_{pt} + 2r k_{st} \sin 2k_x X \right] \dots \dots \dots \quad (4)$$

となり、ここ K_{pt} や k_{st} はそれぞれ小進行波および重複波の場合の質量輸送速度の鉛直分布を示すものである。 K_{pt} や k_{st} は一般 K の \sqrt{f} 、Reynolds 数 $U_0 \delta / L [U_0 = (1+r) \pi H_c / T \sinh k_{st}]$ やおよび粗度長 Z_0 / L の関数であるが、その関数形はきわめて複雑であり、数値計算によってその特性を明らかにする必要がある。図-2 は滑面 ($Z_0 = 0$) の場合の K_{pt} と $U_0 \delta / L$ の関係を $U_0 \delta / L = 200$ の場合について図示したものである。図-3 は、滑面に対する K_{st} と Z/L の関係を、 $U_0 \delta / L$ をパラメータとして示したものである。図中の実線は比較的ために示した層流理論による K_{st} を表す。



論によると K_{st} は表か 図-2 K_{pt} と $U_0 \delta / L$ の関係 図-3 K_{st} と Z/L の関係 図-4 K_{st} に及ぼす粗度の効果 している。また図-4 は $U_0 \delta / L = 1000$ における K_{st} と Z/L の関係を Z/L をパラメータとして示したものである。これらの図から、Reynolds 数が増加すると質量輸送速度の無次元表示 K_{st} と K_{pt} は一般的に K_{st} や K_{pt} よりもその値が小さくなること、さらには K_{st} は粗度および Reynolds 数の増大とともに、逆転層が発達して逆方向の質量輸送が発生することを示している。こうした質量輸送の方向が、ここで述べた漂砂の移動方向を支配すると推定される。

3. 海岸堤防基部の洗掘機構について

以上の結果は、底質の大きさ、漂砂の移動形式、流れの乱れの程度、砂れんの有無などによって、底質の移動方向が異なるのではないかと考えられる。これらを確かめるために実験を行なった。図-5 および図-6 は重複波で、それが小砂および壊化ビーチ粒を底質として用いた場合の底面地形変化を示している。さて、図-7 は佐藤、図-8 は田中、入江が部分重複波の場合について行った実験結果を示すものである。これらの詳細については講演時に述べることとする。

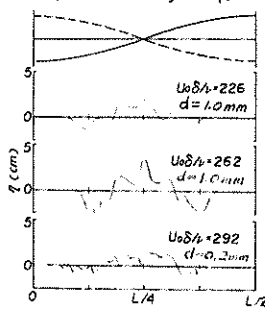


図-5 重複波による砂の地形変化

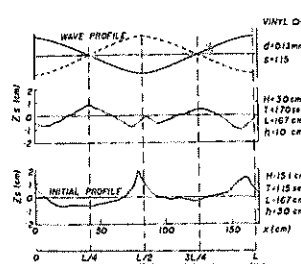


図-6 重複波による壊化ビーチ粒の移動

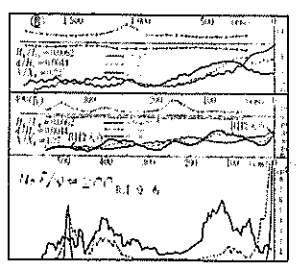


図-7 部分重複波による砂の移動
(佐藤)

図-8 部分重複波による砂の移動
(田中・入江)